

|          |    |    |    |
|----------|----|----|----|
| 信州大学工学部  | 正員 | ○長 | 尚  |
| 日本道路公団   | 正員 | 長友 | 成樹 |
| 建設省土木研究所 | 正員 | 村上 | 良丸 |

## 1. まえがき

トンネルに用いられる鋼アーチ支保工の解析法ないしは設計法はまだ確立されていない。その主因としては、地山のゆるみによって発生する荷重（主働荷重）の推定が非常に困難であること、この荷重を受ける支保工が力学的にどのような構造系として考えるべきか不明であること、および支保工の変位を地山が拘束することによって生れる荷重（受働荷重）の判定が困難であることが挙げられる。ここではこれらの問題点のうち、鋼アーチ支保工の力学的構造の問題と、受働土圧の発生の問題について、実物大モデルの載荷試験（長友、村上担当）とともに理論的解析（長担当）を行なって現在までに得られた結果を報告する。

## 2. 試驗裝置

支保工の形状寸法およびくさび底の位置を図-1に示す。試験装置の主要部分は、内径13mの鉄筋コンクリート製の反力棒と18台の載荷用油圧ジャッキ（能力50t）およびこれを制御する装置などにより油圧ポンプから成っている。荷重制御装置は、載荷用ジャッキに、くさび底荷重に相当する力を発生させるために、各ジャッキの荷重を独立して制御できる制御盤と、これに設置された荷重を同時に各ジャッキに伝達動作させる一齊載荷装置の二部分から成っている。

### 3. 解析の概要

解析に当つて次の仮定を設ける。(a) 支保工の支点は水平、垂直および回転変位に対してそれぞれ一連の反力係数  $k_H$ ,  $k_V$ ,  $k_\theta$  を有する。(b) 支保工のフランジは通常上縁を少し開き、下縁を突き合わせるから、突き合わせ点を矢じり軸線より鋼材の高さの約半分だけ下の点を上端と考へる。(c) 地山と支保工の間に挿入されるくさびは通常せん歓抵抗是非常に小さいから、荷重の作用方向は支保工の軸線の法線方向とする。(d) 主働荷重と受働荷重とが作用し、支保工が山側に変位した量に比例して受働荷重は発生する。この比例定数( $K$ )をくさび係数と名づける。

(a), (b) の仮定により鋼アーチ支保工は、弾性的に支点が拘束され、フランの突き合わせ点がヒンジのアーチ構造として計算する。この計算法は筆者(長)が先に発表した方法による。

(d) の後走に基づいて受動荷重の発生は次のように取り扱う。まず以下に用いる記号を示すと、  
A: 主動荷重。P: 受動荷重。 $M_j$ ,  $N_j$ ,  $V_j$ ,

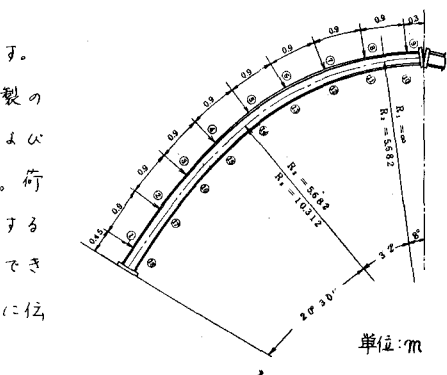


圖-1

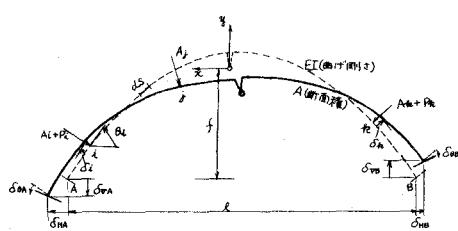


圖 - 2

$H_i$ ,  $\bar{S}_{ij}$  :  $j$  点に単位荷重が作用したときの任意点のモーメント、軸力、支点の垂直反力、水平反力、 $i$  点の変位。 $\bar{M}_i$ ,  $\bar{N}_i$  :  $i$  点に山側に向て単位荷重が作用したときの任意点のモーメントおよび軸力。 $A_V$ ,  $A_H$  : 支点の垂直、水平方向投影面積。 $\delta$  : 支保工の法線方向の変位、山側正。

$$P_i = K_i \delta_i \quad (\text{ただし } \delta_i > 0) \quad (1) \quad \delta_i = \sum_j (A_j + P_j) \bar{S}_{ij} \quad (2) \quad \text{の両式から},$$

$- \frac{P_i}{K_i} + \sum_j P_j \bar{S}_{ij} = \sum_j A_j \bar{S}_{ij} \quad (3)$  を得る。この式(3)は山側に変位したくさび点の数だけあり、受動荷重  $P_i$  も同数であるから、これらを連立に解けば受動荷重  $P_i$  が求まる。ただし山側に変位するくさび点の位置およびその変位量は予め予測できないから、計算は非線形な繰り返し演算となる。なお式(3)中の  $\bar{S}_{ij}$  は支点の変位を考慮に入れて、次のようになる。

$$\begin{aligned} \bar{S}_{ij} = & \left\{ \frac{M_i \bar{M}_j}{EI} ds + \left[ \frac{N_i \bar{N}_j}{EA} ds - \cos \theta_i \left( \frac{V_{Ai}}{P_{RA} A_{Vj}} \frac{l}{2} - x \right) + \frac{V_{Ai}}{P_{RA} A_{Vj}} \left( \frac{l}{2} + x \right) + \frac{H_{Aj}}{P_{RA} A_{Hj}} \left( \frac{l}{2} - |x| \right) + \frac{H_{Aj}}{2 P_{RA} A_{Hj}} \left( \frac{l}{2} - |x| \right)^2 \right] \right\} \\ & - \sin \theta_i \left\{ \frac{H_{Aj}}{P_{RA} A_{Hj}} \left( \frac{l}{2} - x \right) - \frac{H_{Aj}}{P_{RA} A_{Hj}} \left( \frac{l}{2} + x \right) - \frac{2 V_{Ai} f}{P_{RA} A_{Vj} l^2} \left( \frac{l}{2} - |x| \right) - \frac{2 V_{Ai} f}{P_{RA} A_{Vj} l^2} \left( \frac{l}{2} - |x| \right)^2 \right\} \end{aligned} \quad (4)$$

#### 4. 結果および考察

試験および計算の結果の若干例について示す。

図-3は⑥点に3カ所の荷重をかけ他のくさび点は  $K = 29 \text{ t/cm}$  のくさびで拘束した場合の上縁の応力について図示したものである。図-4は⑦～⑩点に荷重をかけたとき、①～⑥のくさび点に発生する受動荷重の模様を、実測値および理論値(反力係数 500 塚成)について図示したものである。

図-5はスパンの  $3/4$  点に3, 左支点に1, 右支点に2の割合で分布して偏荷重が作用したとき、支保工に発生するモーメントについての理論値を示したものである。

このような実験的、理論的検討から現在次のような結論を得ている。(a) 支保工の構造は、支点条件を適当に選んで、本文で述べたような構造とすれば、応力などの実測値と理論値は比較的よく一致する。(b) Proctor & White は支保工にはほとんど曲げモーメントが発生しないように受動荷重が発生するとしているが、そのような都合の良い受動荷重は、実験結果および理論計算結果からは認められず、かなりの曲げモーメントが残る。

今後はさらに検討を進めて、実際的な設計荷重の形および設計法を確立したいと念願している。

参考文献 (1)長尚: アーチの応力に及ぼす基礎地盤の変形の影響、第22回土木学会学術講演概要  
(2) Proctor & White: "Rock Tunneling with Steel Support" 1946

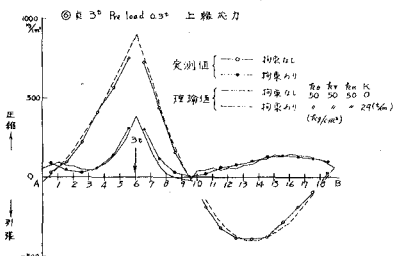


図-3

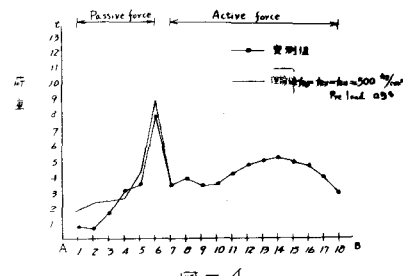


図-4

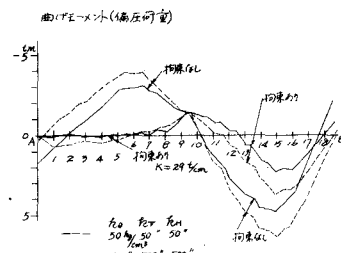


図-5